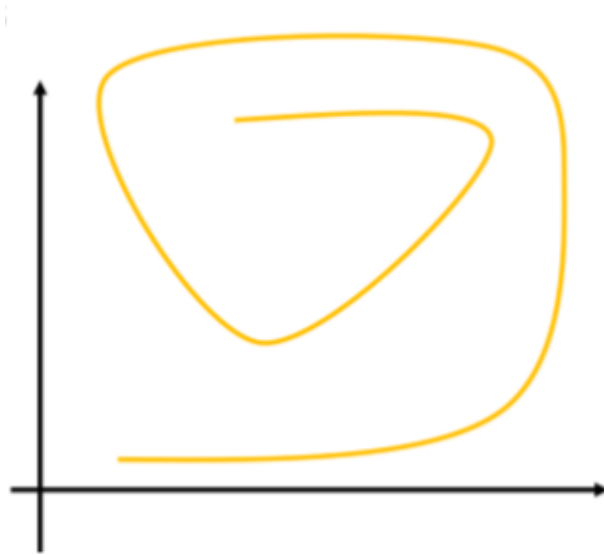


# CAGD(2) | Bezier曲线

## 1. 曲线的表示

### 1.1. 隐式表示



曲线隐式表示为 $f(x, y) = 0$ ，该方法有诸多局限性：

- 对于同一个 $x$ 横坐标值对应多个纵坐标值
- 存在一些位置，导数 $\frac{dy}{dx}$ 没有定义
- 关于轴变换非不变

### 1.2. 参数表示

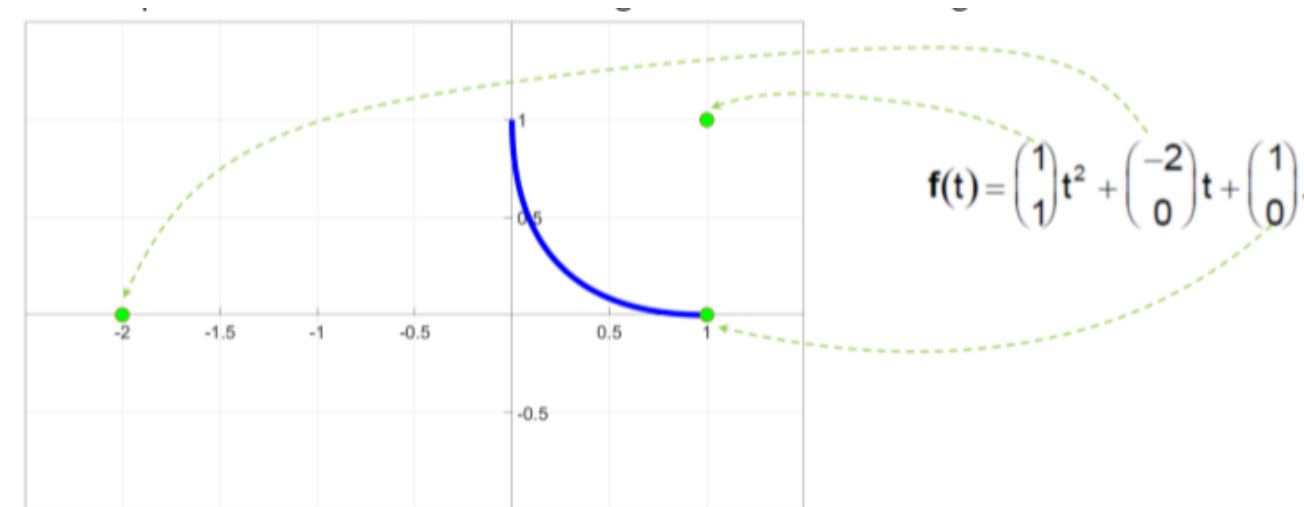
曲线参数表示为 $c(t) = (x(t), y(t))$

- 求值方便
- 参数 $t$ 可作为时间进行插值
- 曲线可以理解为运动粒子的运动轨迹跟踪

## 2. 曲线建模举例

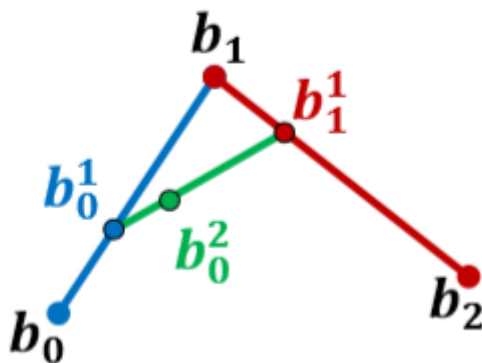
### 2.1. 用幂函数基进行建模

以抛物线  $f(t) = at^2 + bt + c$  为例



- 幂函数基的系数缺少直觉上的几何意义

### 2.2. 一种改进的画法



其中,

- $b_0^1 = (1-t)b_0 + tb_1$
- $b_1^1 = (1-t)b_1 + tb_2$

$$\begin{aligned} b_0^2 &= (1-t)b_0^1 + tb_1^1 \\ &= (1-t)[(1-t)b_0 + tb_1] + t[(1-t)b_1 + tb_2] \\ &= (1-t)^2 b_0 + 2t(1-t)b_1 + t^2 b_2 \end{aligned}$$

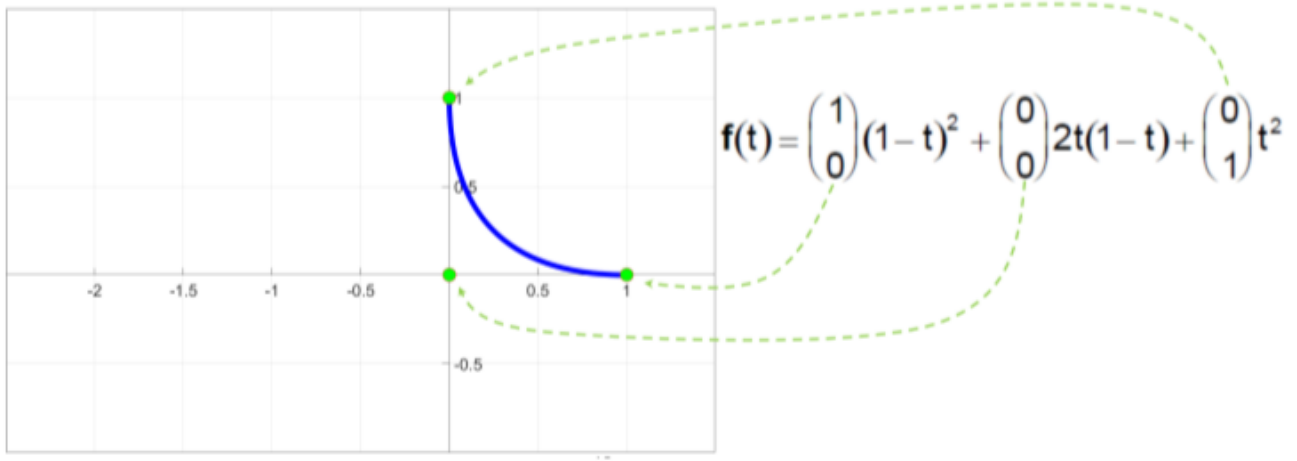
以之前的例子

$$f(t) = \begin{pmatrix} 1 \\ 1 \end{pmatrix} t^2 + \begin{pmatrix} -2 \\ 0 \end{pmatrix} t + \begin{pmatrix} 1 \\ 0 \end{pmatrix}$$

转为上述形式:

$$f(t) = \begin{pmatrix} 1 \\ 0 \end{pmatrix} (1-t)^2 + \begin{pmatrix} 0 \\ 0 \end{pmatrix} 2t(1-t) + \begin{pmatrix} 0 \\ 1 \end{pmatrix} t^2$$

在图上表示为



- 各系数均有相应的几何意义
- 更多直觉上的曲线操作

对于四个控制点，同样有：

$$\mathbf{p}_0^0(t) = \mathbf{p}_0, \quad \mathbf{p}_1^0(t) = \mathbf{p}_1, \quad \mathbf{p}_2^0(t) = \mathbf{p}_2, \quad \mathbf{p}_3^0(t) = \mathbf{p}_3$$

第一次迭代：

$$\begin{aligned} \mathbf{p}_0^1 &= (1-t)\mathbf{p}_0 + t\mathbf{p}_1 \\ \mathbf{p}_1^1 &= (1-t)\mathbf{p}_1 + t\mathbf{p}_2 \\ \mathbf{p}_2^1 &= (1-t)\mathbf{p}_2 + t\mathbf{p}_3 \end{aligned}$$

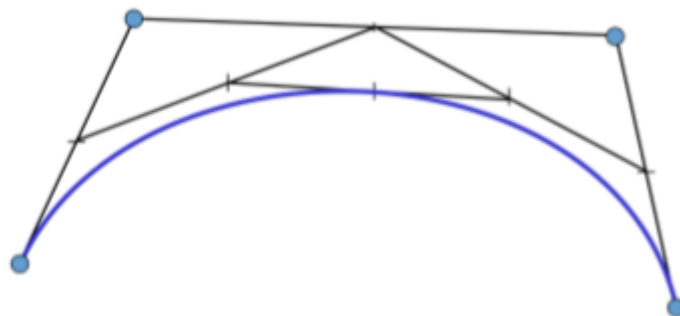
第二次迭代：

$$\begin{aligned} \mathbf{p}_0^2 &= (1-t)^2\mathbf{p}_0 + 2t(1-t)\mathbf{p}_1 + t^2\mathbf{p}_2 \\ \mathbf{p}_1^2 &= (1-t)^2\mathbf{p}_1 + 2t(1-t)\mathbf{p}_2 + t^2\mathbf{p}_3 \end{aligned}$$

最终得到的曲线方程：

$$\mathbf{c}(t) = (1-t)^3\mathbf{p}_0 + 3t(1-t)^2\mathbf{p}_1 + 3t^2(1-t)\mathbf{p}_2 + t^3\mathbf{p}_3$$

### 3. De Casteljau算法



#### 3.1. 动机

- 对给定 $t$ 计算 $\mathbf{x}(t)$ 
  - 按比例 $t : (1 - t)$ 平分控制多边形
  - 用线连接新点 (相邻线段)
  - 用相同比例进行插值
  - 迭代, 直到只剩下一个点

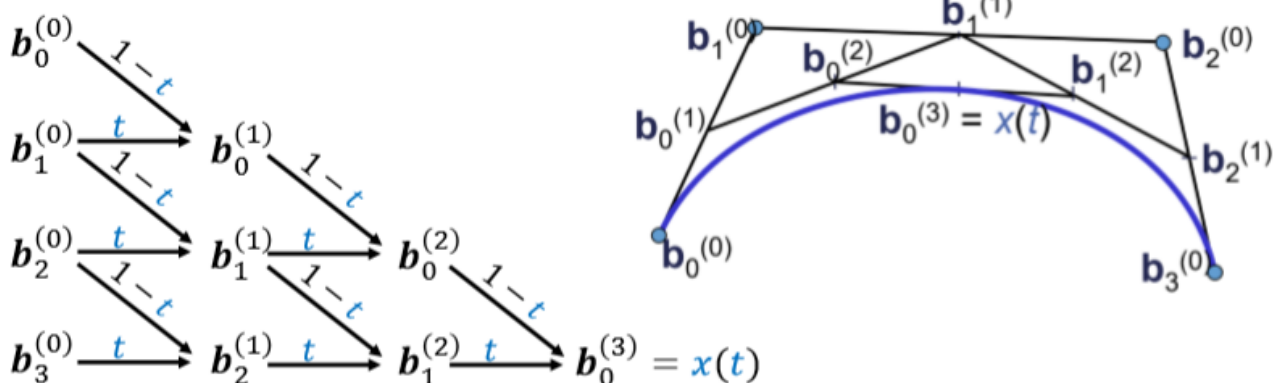
#### 3.2. 算法描述

- 输入点:  $\mathbf{b}_0, \mathbf{b}_1, \dots, \mathbf{b}_n \in \mathbb{R}^3$
- 输出曲线:  $\mathbf{x}(t), t \in [0, 1]$
- 对给定 $t$ 进行点 $\mathbf{x}(t)$ 的几何构造

$$\begin{aligned} \mathbf{b}_i^0(t) &= \mathbf{b}_i, \quad i = 0, \dots, n \\ \mathbf{b}_i^r(t) &= (1 - t)\mathbf{b}_i^{r-1}(t) + t\mathbf{b}_{i+1}^{r-1}(t) \\ r &= 1, \dots, n \quad i = 0, \dots, n - r \end{aligned}$$

- 最后,  $\mathbf{b}_0^n(t)$ 为所找的曲线点 $\mathbf{x}(t)$ 在参数值 $t$ 的取值

$$\mathbf{b}_i^{(r)} = (1 - t)\mathbf{b}_i^{(r-1)} + t\mathbf{b}_{i+1}^{(r-1)}$$



所有系数可写为下三角矩阵:

$$\begin{aligned} \mathbf{b}_0 &= \mathbf{b}_0^0 \\ \mathbf{b}_1 &= \mathbf{b}_1^0 & \mathbf{b}_1^1 \\ \mathbf{b}_2 &= \mathbf{b}_2^0 & \mathbf{b}_1^1 & \mathbf{b}_0^2 \\ \mathbf{b}_3 &= \mathbf{b}_3^0 & \mathbf{b}_2^1 & \mathbf{b}_1^2 & \mathbf{b}_0^3 \\ &\vdots & \vdots & \vdots & \ddots & \ddots \\ \mathbf{b}_{n-1} &= \mathbf{b}_{n-1}^0 & \mathbf{b}_{n-2}^1 & \dots & \dots & \dots & \mathbf{b}_0^{n-1} \\ \mathbf{b}_n &= \mathbf{b}_n^0 & \mathbf{b}_{n-1}^1 & \dots & \dots & \dots & \mathbf{b}_1^{n-1} & \mathbf{b}_0^n = \mathbf{x}(t) \end{aligned}$$

伪代码:

## Algorithm:

for  $r=1..n$

for  $i=0..n-r$

$$\mathbf{b}_i^{(r)} = (1-t) \mathbf{b}_i^{(r-1)} + t \mathbf{b}_{i+1}^{(r-1)}$$

end

end

return  $\mathbf{b}_0^{(n)}$

The whole algorithm consists only of repeated linear interpolations.

### 3.3. De Casteljau算法性质

- 包含点  $\mathbf{b}_0, \dots, \mathbf{b}_n$  的多边形称为Bezier多边形
- 点  $\mathbf{b}_i$  称为Bezier点 (控制点)
- 由Bezier点  $\mathbf{b}_0, \dots, \mathbf{b}_n$  和De Casteljau算法所定义的曲线称为Bezier曲线
- De Casteljau算法是数值稳定的, 因为只使用了凸组合
- De Casteljau算法复杂度
  - 时间复杂度  $O(n^2)$
  - 空间复杂度  $O(n)$
  - 其中  $n$  为Bezier点的数量
- Bezier曲线的性质
  - 给定Bezier点  $\mathbf{b}_0, \dots, \mathbf{b}_n$  和Bezier曲线  $\mathbf{x}(t)$
  - Bezier曲线是  $n$  阶多项式曲线
  - 端点  $\mathbf{x}(0) = \mathbf{b}_0, \mathbf{x}(1) = \mathbf{b}_n$  插值, 其余的Bezier点仅仅是大致的近似值
  - 凸包性质:
    - Bezier曲线完全在其Bezier多边形的凸包内部
  - 变化减少
    - 没有直线与Bezier曲线的交点比Bezier多边形多
  - Bezier点的影响: 全局但伪局部
    - 全局: 移动Bezier点会改变整个曲线的形状
    - 伪局部: 点  $\mathbf{b}_i$  对  $\mathbf{x}(t)$  在  $t = \frac{i}{n}$  有最大的影响
  - 仿射不变性
    - Bezier曲线和Bezier多边形在仿射变换下不变
  - 仿射参数变换不变性
  - 对称性
    - 以下两条Bezier曲线重合, 它们仅在相反的方向上移动:
$$\mathbf{x}(t) = [\mathbf{b}_0, \dots, \mathbf{b}_n] \quad \mathbf{x}'(t) = [\mathbf{b}_n, \dots, \mathbf{b}_0]$$
  - 线性精确
    - 当  $\mathbf{b}_0, \dots, \mathbf{b}_n$  共线时, Bezier曲线为线段
  - 重心组合下的不变性

## 4. Bazier曲线

Bazier曲线表示为基函数组合：

$$\mathbf{x}(t) = \sum_{i=0}^n \mathbf{B}_i^n(t) \cdot b_i$$

### 4.1. 期望特性

- 对基底的要求：
  - 良好性质的曲线
    - 光滑的基函数
  - 局部控制（或者至少半局部）
    - 紧致的基函数
  - 仿射不变性
    - 对控制点或曲线进行仿射变换 $\mathbf{x} = A\mathbf{x} + b$ 应该有相同的效果
    - 例如：旋转、平移
    - 否则交互式编辑曲线将非常困难
  - 凸包性质
    - 曲线处于其控制点的凸包内
    - 至少能够避免奇怪的震荡
  - 优点
    - 计算优势（递归相交测试）
    - 更多可预测的行为

### 4.2. 仿射不变性

- 仿射变换： $\mathbf{x} \rightarrow A\mathbf{x} + b$

#### 4.2.1. 线性不变性

Bazier曲线的线性不变性是显然的，Bazier曲线表示为基函数的线性组合：

$$\mathbf{f}(t) = \sum_{i=1}^n b_i(t) \mathbf{p}_i = \sum_{i=1}^n b_i(t) \begin{pmatrix} p_i^{(x)} \\ p_i^{(y)} \\ p_i^{(z)} \end{pmatrix}$$

因此

$$A(\mathbf{f}(t)) = A\left(\sum_{i=1}^n b_i(t) \mathbf{p}_i\right) = \sum_{i=1}^n b_i(t) (A\mathbf{p}_i)$$

#### 4.2.2. 平移不变性

$$\sum_{i=1}^n b_i(t) (\mathbf{p}_i + \mathbf{b}) = \sum_{i=1}^n b_i(t) \mathbf{p}_i + \sum_{i=1}^n b_i(t) \mathbf{b} = \mathbf{f}(t) + \left(\sum_{i=1}^n b_i(t)\right) \mathbf{b}$$

- 为了满足平移不变性，基函数的和应恒为1
- 这也称为"partition of unity property"，单位划分性质
- $b_i$ 是控制点 $\mathbf{p}_i$ 的“仿射组合”
- 该性质对建模非常重要

## 4.3. 凸包性质

- 凸组合

- 点集 $\{p_1, \dots, p_n\}$ 的一个凸组合为如下形式

$$\sum_{i=1}^n \lambda_i p_i \text{ with } \sum_{i=1}^n \lambda_i = 1 \text{ and } \forall i = 1, \dots, n : 0 \leq \lambda_i \leq 1$$

- 所有允许的凸组合的集合形成点集的凸包

- 凸包是包含所有点集 $\{p_1, \dots, p_n\}$ 以及集合中两个元素之间的每条完整连线的最小集合

- 相应地

- 如果我们有性质：

$$\forall t \in \Omega : \sum_{i=1}^n b_i(t) = 1 \text{ and } \forall t \in \Omega, \forall i : b_i(t) \geq 0$$

所构造地曲线/曲面将满足：

- 仿射不变性（平移，线性映射）
- 限制在控制点的凸包中
- 推论：曲线将有linear precision（线性精确）
  - 当所有控制点共线时，曲线为直线段
  - 具有平面控制点的曲面也将是平面
- 凸包性质在实践中十分有用
  - 避免不良震荡
    - 被限制在凸包内，不像多项式插值
  - 线性精确性质比较直观（用户友好）
  - 可用于快速范围检查
    - 相交测试可以先对凸包进行，然后再对物体进行
    - 递归相交算法与细分规则结合使用

## 4.4. Bezier曲线的多项式描述

- 给定 $(n+1)$ 个控制点 $b_0, \dots, b_n$
- 目标：Bezier曲线 $x(t)$ ，其中 $t \in [0, 1]$
- 定义 $n+1$ 个基函数，通过其线性组合来描述一个Bezier曲线

$$B_0^n(t), \dots, B_n^n(t) \text{ over } [0, 1]$$

$$x(t) = \sum_{i=0}^n B_i^n(t) \cdot b_i$$

### 4.4.1. Bernstein基函数

Bernstein基函数： $B = \{B_0^{(n)}, B_1^{(n)}, \dots, B_n^{(n)}\}$

- $n$ 次Bernstein基函数

$$B_i^{(n)}(t) = \binom{n}{i} t^i (1-t)^{n-i}$$

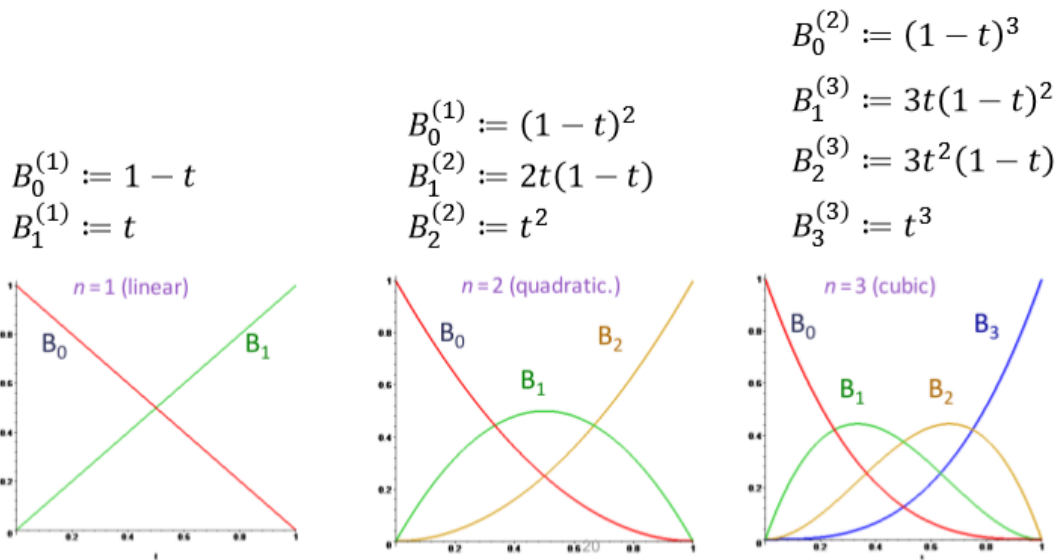
其中，二项式系数

$$\binom{n}{i} = \begin{cases} \frac{n!}{(n-i)!i!} & \text{for } 0 \leq i \leq n \\ 0 & \text{otherwise} \end{cases}$$

杨氏三角：

$$\begin{array}{ccccccc}
 & & & & 1 & & & & \\
 & & & & 1 & & 1 & & \\
 & & & 1 & & 2 & & 1 & \\
 & & 1 & & 3 & & 3 & & 1 \\
 & 1 & & 4 & & 6 & & 4 & & 1 \\
 1 & & 5 & & 10 & & 10 & & 5 & & 1
 \end{array}$$

前三组Bernstein基函数



#### 4.4.2. Bernstein基函数的性质

$$B = \{B_0^{(n)}, B_1^{(n)}, \dots, B_n^{(n)}\}, \quad B_i^{(n)} = \binom{n}{i} t^i (1 - t)^{n-i}$$

##### 光滑性

基函数为 $n$ 次多项式——显然光滑

##### 局部控制

每个基函数 $B_i^{(n)}$ 在 $t = \frac{i}{n}$ 处取最大值——对该处有最大影响

##### 凸包性质和仿射不变性

组合数的性质：

$$\sum_{i=0}^n B_i^{(n)}(t) = (t + (1 - t))^n = 1$$

##### 递归计算特性

$$B_i^n(t) := (1 - t)B_i^{(n-1)}(t) + tB_{i-1}^{(n-1)}(1 - t)$$

with  $B_0^0(t) = 1, B_i^n(t) = 0$  for  $i \notin \{0, \dots, n\}$

##### 对称性

$$B_i^n(t) = B_{n-i}^n(1 - t)$$

##### 非负性



$$B_i^{(n)}(t) \geq 0 \text{ for } t \in [0, \dots, 1]$$

$$B_i^{(n)}(t) > 0 \text{ for } 0 < t < 1$$

$$\begin{aligned} B_0^{(n)}(0) &= 1, & B_1^{(n)}(0) &= \dots = B_n^{(n)}(0) = 0 \\ B_0^{(n)}(1) &= \dots = B_{n-1}^{(n)}(1) = 0, & B_n^{(n)}(1) &= 1 \end{aligned}$$

## 导数

$$\begin{aligned} \frac{d}{dt} B_i^{(n)}(t) &= \binom{n}{i} (it^{i-1}(1-t)^{n-i} - (n-i)t^i(1-t)^{n-i-1}) \\ &= \frac{n!}{(n-i)!i!} it^{i-1}(1-t)^{n-i} - \frac{n!}{(n-i)!i!} (n-i)t^i(1-t)^{n-i-1} \\ &= n \left[ \binom{n-1}{i-1} t^{i-1}(1-t)^{n-i} - \binom{n-1}{i} t^i(1-t)^{n-i-1} \right] \\ &= n [B_{i-1}^{(n-1)}(t) - B_i^{(n-1)}(t)] \\ \frac{d^2}{dt^2} B_i^{(n)}(t) &= \frac{d}{dt} [B_{i-1}^{(n-1)}(t) - B_i^{(n-1)}(t)] \\ &= n [(n-1)(B_{i-2}^{(n-2)}(t) - B_{i-1}^{(n-2)}(t)) - (n-1)(B_{i-1}^{(n-2)}(t) - B_i^{(n-2)}(t))] \\ &= n(n-1) [B_{i-2}^{(n-2)}(t) - 2B_{i-1}^{(n-2)}(t) + B_i^{(n-2)}(t)] \end{aligned}$$

## 4.5. Bezier曲线的性质

### 4.5.1. 前面提到过的性质:

- 仿射不变性
- 凸包性质
- 控制点影响性

### 4.5.2. 导数性质

对于  $t \in [0, 1]$ , 有

$$\begin{aligned} \mathbf{f}(t) &= \sum_{i=0}^{n-1} \binom{n}{i} t^i (1-t)^{n-i} \mathbf{p}_i \\ \Rightarrow \mathbf{f}(0) &= \mathbf{p}_0 \quad \mathbf{f}(1) = \mathbf{p}_1 \end{aligned}$$

一阶导数

$$\begin{aligned} \frac{d}{dt} \mathbf{f}(t) &= n \sum_{i=0}^{n-1} [B_{i-1}^{(n-1)}(t) - B_i^{(n-1)}(t)] \mathbf{p}_i \\ &= n \left( [-B_0^{(n-1)}(t)] \mathbf{p}_0 + [B_0^{(n-1)}(t) - B_1^{(n-1)}(t)] \mathbf{p}_1 + \dots \right) \\ \frac{d}{dt} \mathbf{f}(0) &= n(\mathbf{p}_1 - \mathbf{p}_0) \quad \frac{d}{dt} \mathbf{f}(1) = n(\mathbf{p}_n - \mathbf{p}_{n-1}) \end{aligned}$$

以此类推, 对于边界点  $\{0, 1\}$ , 有

$$\begin{aligned} \mathbf{f}(0) &= \mathbf{p}_0 \\ \mathbf{f}(1) &= \mathbf{p}_1 \\ \mathbf{f}'(0) &= n[\mathbf{p}_1 - \mathbf{p}_0] \\ \mathbf{f}'(1) &= n[\mathbf{p}_n - \mathbf{p}_{n-1}] \\ \mathbf{f}''(0) &= n(n-1)[\mathbf{p}_2 - 2\mathbf{p}_1 + \mathbf{p}_0] \\ \mathbf{f}''(1) &= n(n-1)[\mathbf{p}_n - 2\mathbf{p}_{n-1} + \mathbf{p}_{n-2}] \end{aligned}$$

## 4.6. Bezier曲线升阶 (Degree Evaluation)

- 给定:  $\mathbf{b}_0, \dots, \mathbf{b}_n \rightarrow \mathbf{x}(t)$
- 目标:  $\bar{\mathbf{b}}_0, \dots, \bar{\mathbf{b}}_n, \bar{\mathbf{b}}_{n+1} \rightarrow \bar{\mathbf{x}}(t)$  with  $\mathbf{x} = \bar{\mathbf{x}}$
- 解决方法:

$$\begin{aligned}\bar{\mathbf{b}}_0 &= \mathbf{b}_0 \\ \bar{\mathbf{b}}_{n+1} &= \mathbf{b}_n \\ \bar{\mathbf{b}}_j &= \frac{j}{n+1} \mathbf{b}_{j-1} + \left(1 - \frac{j}{n+1}\right) \mathbf{b}_j \text{ for } j = 1, \dots, n\end{aligned}$$

- 证明:  
考虑

$$\begin{aligned}(1-t)B_i^n(t) &= (1-t) \binom{n}{i} (1-t)^{n-i} t^i \\ &= \binom{n}{i} (1-t)^{n+1-i} t^i \\ &= \frac{n+1-i}{n+1} \binom{n+1}{i} (1-t)^{n+1-i} t^i \\ &= \frac{n+1-i}{n+1} B_i^{n+1}(t)\end{aligned}$$

类似地,

$$tB_i^n(t) = \frac{i+1}{n+1} B_{i+1}^{n+1}(t)$$

从而有:

$$\begin{aligned}\mathbf{f}(t) &= [(1-t) + t] \mathbf{f}(t) \\ &= [(1-t) + t] \sum_{i=0}^n B_i^n(t) \mathbf{P}_i \\ &= \sum_{i=0}^n [(1-t)B_i^n(t) + tB_i^n(t)] \mathbf{P}_i \\ &= \sum_{i=0}^n \left[ \frac{n+1-i}{n+1} B_i^{n+1}(t) + \frac{i+1}{n+1} B_{i+1}^{n+1}(t) \right] \mathbf{P}_i \\ &= \sum_{i=0}^n \frac{n+1-i}{n+1} B_i^{n+1}(t) \mathbf{P}_i + \sum_{i=0}^n \frac{i+1}{n+1} B_{i+1}^{n+1}(t) \mathbf{P}_i \\ &= \sum_{i=0}^n \frac{n+1-i}{n+1} B_i^{n+1}(t) \mathbf{P}_i + \sum_{i=1}^n \frac{i}{n+1} B_i^{n+1}(t) \mathbf{P}_{i-1} \\ &= \sum_{i=0}^{n+1} \frac{n+1-i}{n+1} B_i^{n+1}(t) \mathbf{P}_i + \sum_{i=0}^n \frac{i}{n+1} B_i^{n+1}(t) \mathbf{P}_{i-1} \\ &= \sum_{i=0}^{n+1} B_i^{n+1}(t) \left[ \frac{n+1-i}{n+1} \mathbf{P}_i + \frac{i}{n+1} \mathbf{P}_{i-1} \right]\end{aligned}$$

## 4.7. 细分

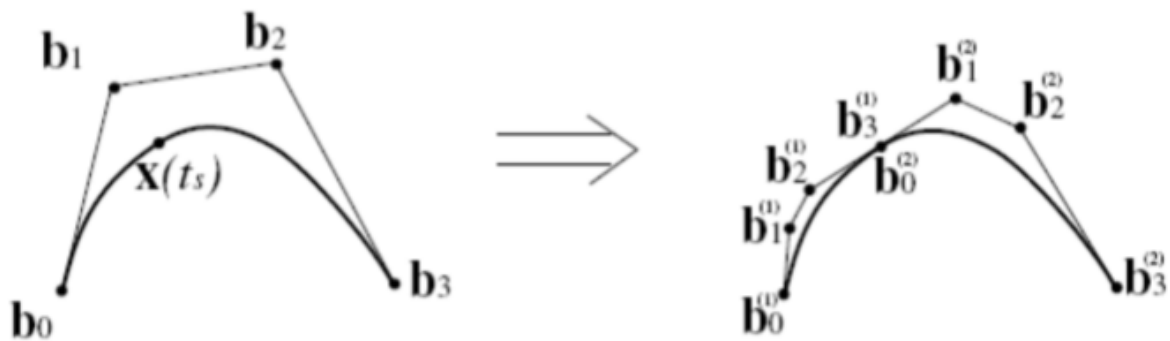
- 给定

$$\mathbf{b}_0, \dots, \mathbf{b}_n \rightarrow \mathbf{x}(t), t \in [0, 1]$$

- 目标

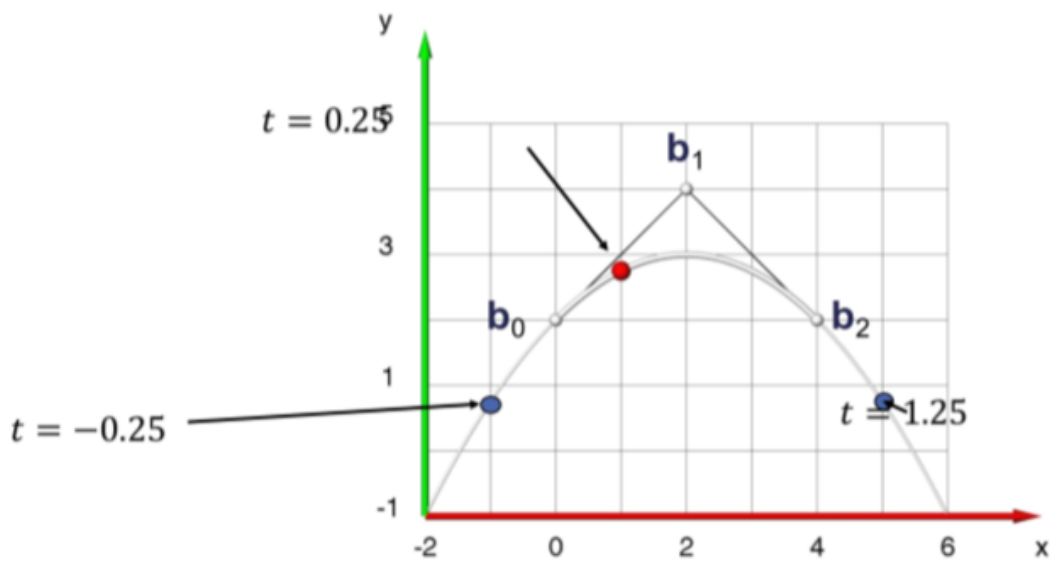
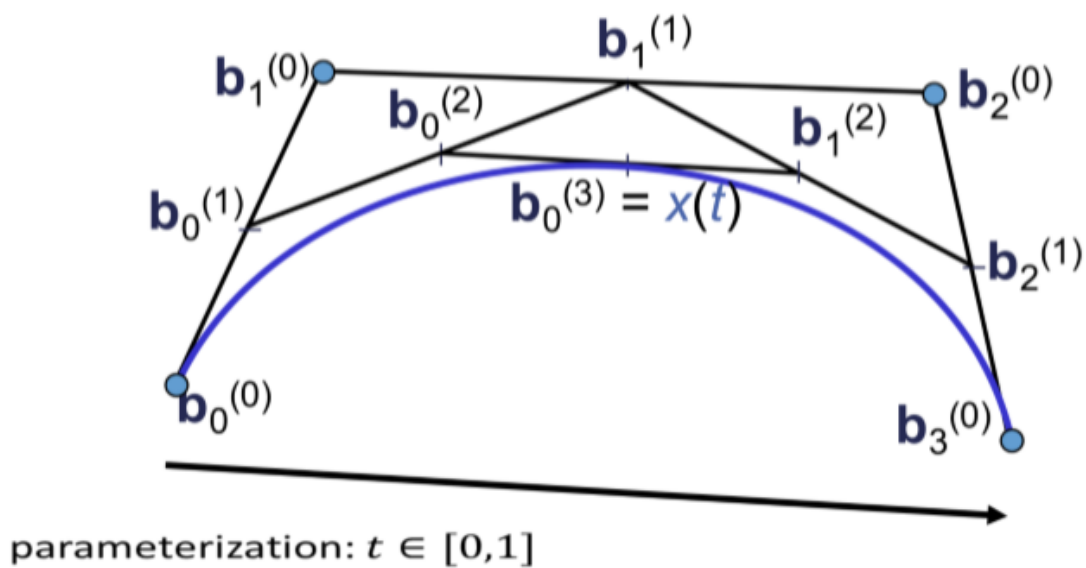
$$\begin{aligned}\mathbf{b}_0^{(1)}, \dots, \mathbf{b}_n^{(1)} &\rightarrow \mathbf{x}^{(1)}(t) \\ \mathbf{b}_0^{(2)}, \dots, \mathbf{b}_n^{(2)} &\rightarrow \mathbf{x}^{(2)}(t) \\ \text{with } \mathbf{x} &= \mathbf{x}^{(1)} \cup \mathbf{x}^{(2)}\end{aligned}$$

- 解决方法



$$b_i^{(1)} = b_0^i, b_i^{(2)} = b_0^{n-i} \text{ for } i = 0, \dots, n$$

## 4.8. 曲线范围



## 4.9. 矩阵实现

三次Bazier曲线

$$P(t) = V_0 B_{0,3} + V_1 B_{1,3} + V_2 B_{2,3} + V_3 B_{3,3}$$

$$\begin{aligned}
B_{0,3} &= \frac{3!}{0!3!}t^0(1-t)^3 = (1-t)^3 \\
B_{1,3} &= \frac{3!}{1!2!}t^1(1-t)^2 = 3t(1-t)^2 \\
B_{2,3} &= \frac{3!}{2!1!}t^2(1-t)^1 = 3t^2(1-t) \\
B_{3,3} &= \frac{3!}{3!0!}t^3(1-t)^0 = t^3
\end{aligned}$$

矩阵形式表示：

$$\boldsymbol{P}(t) = \begin{bmatrix} t^3 & t^2 & t & 1 \end{bmatrix} \begin{pmatrix} -1 & 3 & -3 & 1 \\ 3 & -6 & 3 & 0 \\ -3 & 0 & 3 & 0 \\ 1 & 4 & 1 & 0 \end{pmatrix} \begin{bmatrix} V_{i-1} \\ V_i \\ V_{i+1} \\ V_{i+2} \end{bmatrix}$$

导数的矩阵表示：

$$\boldsymbol{P}'(t) = \begin{bmatrix} 3t^2 & 2t & 1 & 0 \end{bmatrix} \begin{pmatrix} -1 & 3 & -3 & 1 \\ 3 & -6 & 3 & 0 \\ -3 & 0 & 3 & 0 \\ 1 & 4 & 1 & 0 \end{pmatrix} \begin{bmatrix} V_{i-1} \\ V_i \\ V_{i+1} \\ V_{i+2} \end{bmatrix}$$